

関西電力(株) 正員 長谷川 靖明
 大阪大学工学部 正員 室田 明
 大阪大学工学部 正員 中江 信二

1. まえがき ; 者等は三次元水平密度噴流の水質運行機構の解明にあたって、乱れの間歇性の概念を導入することにより水質運動と乱れ構造との相関性を見い出しましたが、乱れ構造の発生過程に関する検討をなし得なかった。この原因は三次元的運動を呈する流況場であるにせかからず流速の一方向成分しか計測していないことと、条件付運動量解析の本質を不可間歇閾数の設定の客観的評価にありまいが残る点にあると考える。本研究の目的は水質運行過程に支配的な乱れ構造の抽出とその役割の評価であることを考えると、剪断乱流場のbursting現象の解明に習い瞬間レイノルズ応力を検出閾数として用いることが考えられる。そこで、鉛直界面を通しての運行に着目して二次元表層密度噴流の実験を行い、二方向流速成分と水質濃度を同時計測し、形成・遷移・確立各領域でのレイノルズ応力 $-uv$ 、水質輸送率 $+C$ の運動特性を結合確率密度分布および統計諸量から考察したので報告する。用いた水槽(長さ 10m 、幅 10cm 、高さ 20cm)のアクリル製循環水槽であり、塩水濃度により濃度差をつけた。放流口での流速、レイノルズ数 $\text{Re} = \frac{U_s H_0}{\nu}$ および内部フルード数 $F_r = \frac{U_s}{\sqrt{g} H_0}$ はそれぞれ 14.2 cm/sec , 3310 , 3.20 である。計測位置は水深 ($H_0 = 2.0\text{ cm}$)で無次元化した $Z/H_0 = 4, 9, 20$ であり、統計処理に際しては 66.7 Hz デサンプリングした約 4000 回のデータを解析した。

2. 瞬間レイノルズ応力の運動特性 ; 瞬間流速計による x 、 y 方向の乱れ成分の同時測定から求めたレイノルズ応力 $-uv$ 、表層流速 U_s で無次元化して鉛直方向分布を求めたのが図-1である。形成領域 ($Z/H_0 = 4$) では乱れ強値が小さく負の値を示す特異な分布を示すが、遷移・確立領域ではほぼ相似であり自己保存型の流速分布の仮定が成立していることがわかる。しかし、リチャードソン数の急変更で定義される界面近傍では浮力の影響を受けて $-uv/U_s^2$ の減衰は小さくなり一定値に近づくに并し、同図に示す濃度運動の相対乱れ強さ \sqrt{C}/AC (下層) が増大する傾向にある。つぎに、確立領域の界面近傍 ($Z/H_0 = 20$, $Z/H_0 = 3.5$) で測定した運動時系列の一例を図-2に示す。瞬間レイノルズ応力 $-uv(t)$ (左図) と濃度運動 $C(t)$ と $-uv$ に励起されたような時系列特性を示している。したがって、水質運動機構の解明には従前の渦動粘性係数の概念よりもむしろ、水質と流速の応答性をレイノルズ応力の乱れ構造と結びつけて考える必要があると思われる。

そこで、界面近傍での流速運動の結合確率密度閾数 $R(\mu, \sigma)$ を求め、領域別に運動場の特性を比較したのが図-3である。形成領域では、閾数閾数の集中はみられなく標準偏差の値を越えて広範囲に分布するが、全体の傾向として $\mu < 0$ の領域に存在し、レイノルズ応力が負となる指向性を有している。これに対して、遷移領域では平均確率密度閾数が $\mu < 0$, $\sigma > 0$ の第2象限に集中するにあり、剪断乱流の様相が強くなる。

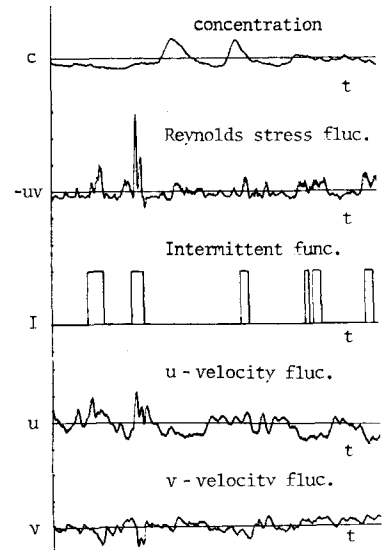
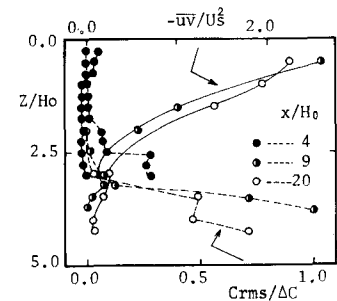


図-1 運動時系列と間歇閾数

図-2 $-uv$ と $Crms/AC$ の鉛直分布

平均流速勾配が大きい
ことから乱れエネルギーが
一の発生第一段階
大きく、スカラーレ
である水質濃度の混合
に貢献するところとなる。
さらに、確立領域に達
すると、ピーク値がト
べ確率密度の大部は
 $\hat{U} < 0$, $\hat{C} < 0$ の第3
象限に移行し正のレイ
ルズ応力を生じるが、
負の応力を生じる領域
が第2象限に集中して残っている。上記の各領域での分布は噴流の初期運動量と剪断乱流場の特性と濃度流としての成層安定化の均衡により決定されるものであり、前者は運動量の鉛直方向輸送の束から $\hat{U} < 0$ や下流第2・3象限に、また後者は成層成層による乱れ運動の抑制により第3象限に確率密度函数を集中させる傾向をもつとうである。可視化計測によると形成領域では界面に発生する界面波が急速に成長してよみ波的碎波あるいは合体により激しい混合が生じていることが観測されており、前述の説明と矛盾するが乱れの発生原因が異なるためであろう。

3. 水質輸送量 \bar{C} の運動特性 ; つまに、界面での混合過程を把握するにために、流速の鉛直方向成分 \hat{U} と濃度 C の確立密度函数 $P(\hat{U})$, $P(\bar{C})$ および結合密度函数 $P_{\hat{U}}(\hat{U}, \bar{C})$ を求めた。形成域と遷移域においては $P_{\hat{U}}(\hat{U}, \bar{C})$ は $\hat{U} < 0$, $\bar{C} > 0$ であるが第3象限に分布しており、 $\bar{C} < 0$ となる頻度が大きい。このことより界面の成層状態が不安定で不テンシャルエネルギーの一部が解放され乱れ運動に移行するところを示しており、その結果、 $P(\bar{C})$ は正の歪度をもつて正規分布に近くなる。これに対して、確立領域においては図-4に示すように $P_{\hat{U}}(\hat{U}, \bar{C})$ は $\hat{U} - C_{rms}$ 値周辺 $\hat{U} < 0$ の領域で、 $\bar{C} > 0$, $\hat{U} > 0$ の第1象限に分散して集中する傾向を示す。

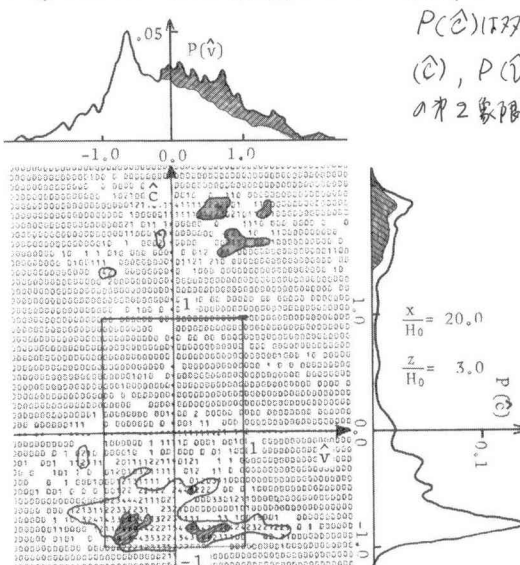
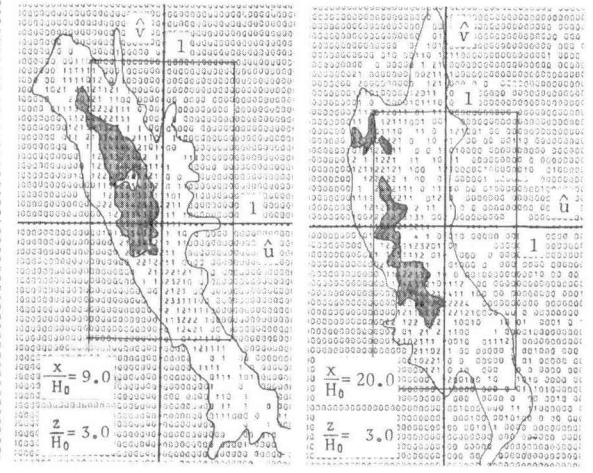


図-4 $P_{\hat{U}}(\hat{U}, \bar{C})$, $P(\bar{C})$ と $P(\hat{U})$ ($\times 10^{-3}$)

図-3 流速運動の確率密度函数 $P_{\hat{U}}(\hat{U}, \bar{C})$, $\hat{U} = U/U_{rms}$, $\bar{C} = C/C_{rms}$ ($\times 10^{-3}$)



ルズ応力が成層界面のシアーに働くことによって、bursting現象を引き起こし、低流速の流速成分を鉛直上方に逆流することで水質混合が生じているものと考えられる。 $P(\hat{U})$ 分布の斜傾部分は 22 回水講(1978)で述べた流速の二重構造性のうち斜傾期間の短かい乱流運動に相当するところであり、剪断乱流の下水質混合に寄与する。したがって、間歇関数の合理的な設定によって(時間レイン)ルズ応力を考慮した複数回数の選択の他に、ルズ応力が第2象限に存在することを付加条件にすれば必要である。図-1 の間歇関数の時系列 $(\hat{U} - (-U_{rms})/st)^2$ を検出閾値として判別して結果であり良好な一致を得ている。条件付運動量解析の結果に関するは別の機会に発表していく。